

# К РАСЧЕТУ НЕЛИНЕЙНЫХ ЦЕПЕЙ ПЕРЕМЕННОГО ТОКА МЕТОДОМ КУСОЧНО-ЛИНЕЙНОЙ АППРОКСИМАЦИИ

А. М. Ходжалиев

Учреждение образования «Гомельский государственный  
технический университет имени П. О. Сухого», Беларусь

Научный руководитель В. В. Соленков

Известно, что для расчета электрических цепей, содержащих индуктивные катушки с сердечниками из высококачественных магнитомягких материалов, применяют метод кусочно-линейной аппроксимации [1]. При этом для облегчения расчета кривую намагничивания  $B(H)$  и соответствующую веберамперную характеристику материала сердечника заменяют идеальной прямоугольной, линейные участки которой совпадают с осями координат (рис. 1, а–в).

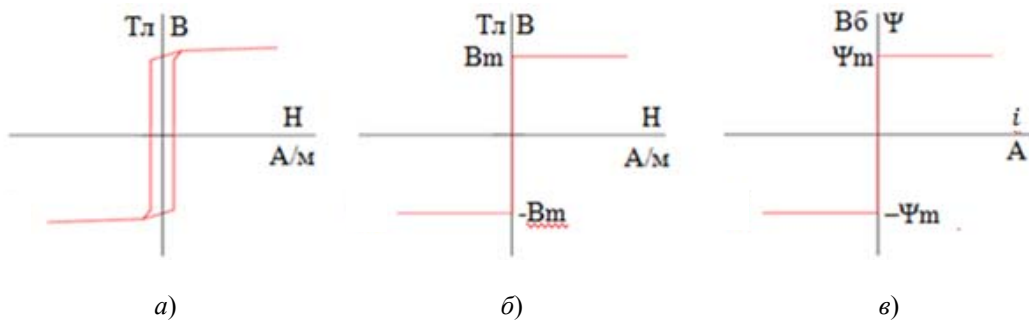


Рис. 1

В литературе приводятся примеры [1], [2], в которых перемагничивание сердечника с прямоугольной характеристикой происходит под воздействием синусоидального напряжения.

В настоящей работе рассмотрен случай, когда перемагничивание сердечника упомянутой выше катушки происходит под воздействием периодического напряжения, форма которого отличается от синусоидальной.

Для этого параллельно с катушкой индуктивности (рис. 2) необходимо включить нелинейное активное сопротивление с симметричной вольтамперной характеристикой, часть которой показана на рис. 3, а, и источник синусоидального тока  $i = J_m \sin \omega t$  А.

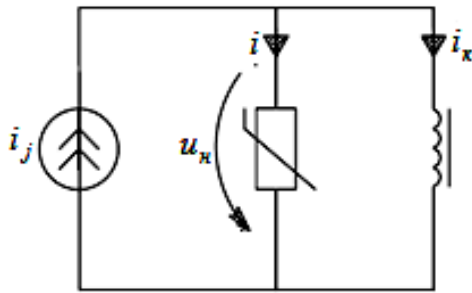


Рис. 2

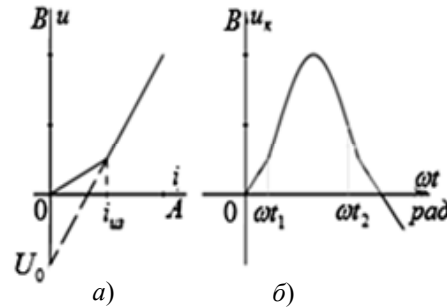


Рис. 3

В процессе перемагничивания сердечника от  $-\Psi_m$  до  $+\Psi_m$  согласно веберамперной характеристике (рис. 1, в) ток в катушке отсутствует, и напряжение на ней будет иметь вид, представленный на рис. 3, б. Аналитически это напряжение можно представить в виде:

$$\left. \begin{aligned} u_1(\omega t) &= U_{m1} \sin \omega t = r_{д1} J_m \sin \omega t && \text{при } 0 \leq \omega t \leq \omega t_1 \text{ и } \pi - \omega t_1 \leq \omega t \leq \pi, \\ u_2(\omega t) &= U_{m2} \sin \omega t - U_0 = r_{д2} J_m \sin \omega t - U_0 && \text{при } \omega t_1 \leq \omega t \leq \pi - \omega t_1, \end{aligned} \right\} \quad (1)$$

где  $r_{д1} = \Delta u_1 / \Delta i_1$  – дифференциальное сопротивление нелинейного резистора на участках  $0 \leq \omega t \leq \omega t_1$  и  $\pi - \omega t_1 \leq \omega t \leq \pi$ ;  $r_{д2} = \Delta u_2 / \Delta i_2$  – дифференциальное сопротивление нелинейного резистора на участке  $\omega t_1 \leq \omega t \leq \pi - \omega t_1$ ;  $\omega t_1 = \arcsin i_{из} / J_m$  – угол, соответствующий току  $i_{из}$  в точке излома вольтамперной характеристики нелинейного резистора.

Пусть перемагничивание сердечника катушки заканчивается в момент времени, соответствующий углу  $\omega t_2$ . Тогда в интервале  $0 \leq \omega t \leq \omega t_2$  напряжение на катушке будет

$$u_k = \frac{d\Psi}{dt}, \quad (2)$$

откуда

$$\Psi(t) = \int_0^t u_k dt + \Psi_0, \quad (3)$$

где  $\Psi_0$  – постоянная интегрирования, характеризующая состояние катушки в момент времени, когда  $\omega t = 0$ . Для определенности в дальнейшем будем считать, что  $\Psi_0 = -\Psi_m$ .

С учетом (1) выражение (3) можно преобразовать к виду:

$$\begin{aligned} \Psi(\omega t) &= \frac{1}{\omega} \int_0^{\omega t_1} u_1(\omega t) d\omega t + \frac{1}{\omega} \int_{\omega t_1}^{\omega t} u_2(\omega t) d\omega t - \Psi_m = \\ &= \frac{1}{\omega} \int_0^{\omega t_1} U_{m1} \sin \omega t d\omega t + \frac{1}{\omega} \int_{\omega t_1}^{\omega t} [U_{m2} \sin \omega t - U_0] d\omega t - \Psi_m = \\ &= -\frac{U_{m1}}{\omega} [\cos \omega t_1 - 1] - \frac{U_{m2}}{\omega} [\cos \omega t - \cos \omega t_1] - \frac{U_0}{\omega} [\omega t - \omega t_1] - \Psi_m = \\ &= -\frac{U_{m1}}{\omega} \cos \omega t_1 + \frac{U_{m1}}{\omega} - \frac{U_{m2}}{\omega} \cos \omega t + \frac{U_{m2}}{\omega} \cos \omega t_1 - U_0 t + U_0 t_1 - \Psi_m = \\ &= -\frac{U_{m2}}{\omega} \cos \omega t - U_0 t + \Psi^*, \end{aligned} \quad (4)$$

где  $\Psi^* = -\frac{U_{m1}}{\omega} \cos \omega t_1 + \frac{U_{m1}}{\omega} + \frac{U_{m2}}{\omega} \cos \omega t_1 + U_0 t_1 - \Psi_m$ .

Для определения  $\omega t_2$  воспользуемся уравнением (4), учитывая, что при  $\omega t = \omega t_2$  потокосцепление  $\Psi = \Psi_m$ . Получим

$$-\frac{U_{m2}}{\omega} \cos \omega t_2 - U_0 t_2 = \Psi_m - \Psi^*. \quad (5)$$

Данное уравнение точного аналитического решения не имеет. Величина  $\omega t_2(t_2)$  может быть определена численным методом.

В интервале  $\omega t_2 \leq \omega t \leq \pi$  потокосцепление остается постоянным и равным  $\Psi_m$ ; напряжение на катушке  $u_k = d\Psi_m/dt = 0$ . Ток в катушке  $i_k(t) = i_J = J_m \sin \omega t$ .

В качестве примера на рис. 4 приведены зависимости  $\Psi(\omega t)$ ,  $u_k(\omega t)$  и  $i_k(\omega t)$  для случая, когда  $\Psi_m = 0,15$  Вб,  $i_J = 1 \sin 500t$  А;  $i_{из} = 0,5$  А;  $r_{д1} = 50$  Ом;  $r_{д2} = 150$  Ом.

Значение угла  $\omega t_2$  в результате расчета оказалось равным  $137,4^\circ$ .

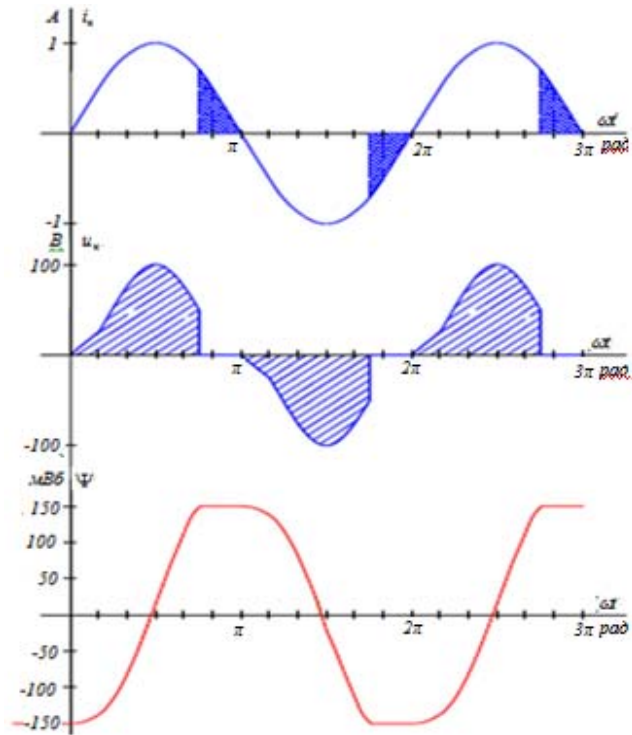


Рис. 4

В заключение отметим, что предложенный порядок расчета остается справедливым и в случае аппроксимации вольтамперной характеристики (рис. 3, а) большим количеством линейных участков.

#### Литература

1. Бессонов, Л. А. ТОЭ. Электрические цепи : учеб. для электротехн., энергет., приборостроит. специальностей вузов / Л. А. Бессонов. – 9-е изд. – М. : Высш. шк., 1996. – 638 с.
2. Основы теории цепей / Г. В. Зевеке [и др.]. – М. : Энергия, 1989. – 527 с.